# Micro-mécanique de la neige

Jacques Meyssonnier, Claire Brutel-Vuilmet, Bruno Chareyre, Félix Darve, Frédéric Flin, Luc Gillibert, Alsidqi Hasan, Janek Kozicki, Bernard Lesaffre, Wolfgang Lüdwig, François Nicot, Jean Michel Panel, Armelle Philip, Philippe Puglièse, Sabine Rolland du Roscoat, ....











Groupe transversal Neige-OSUG 15 Octobre 2010

## Plan

**Contexte et motivation** 

**Expériences** 

Simulation numérique

Modélisation "micro-macro"

Conclusion

#### Contexte

État de l'art en modélisation Modélisation: points en suspens Objectifs

## **Contexte**



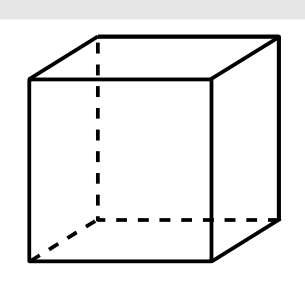
Etude limitée au régime de déformation ductile

Contexte État de l'art en modélisation Modélisation: points en suspens Objectifs

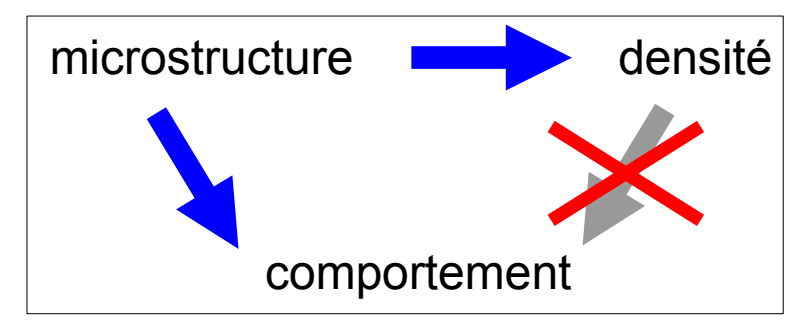
## État de l'art en modélisation

#### Modèles "macro"

- phénoménologiques variable interne= densité
- métamorphose rarement prise en compte (variables internes)



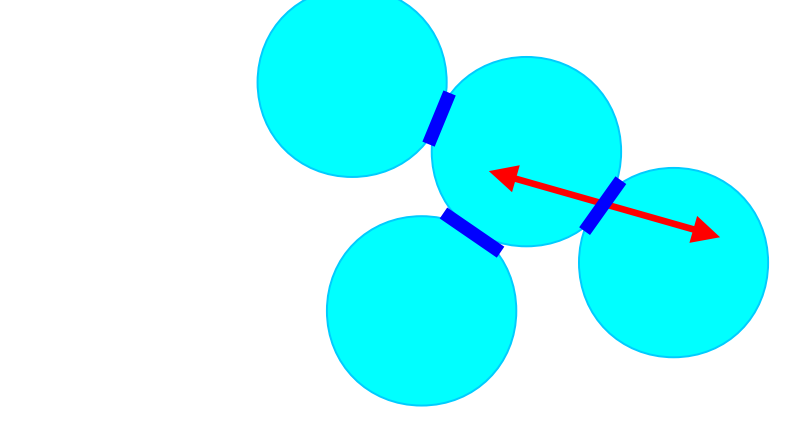
 $\sim 100 \text{ mm} / > 10^6 \text{ grains}$ 



#### Modèles "micro"

- déformation localisée aux ponts (concentrations de contraintes)
- grains rigides: souvent
- glace déformable (grains/ponts) comme la glace polycristalline: parfois



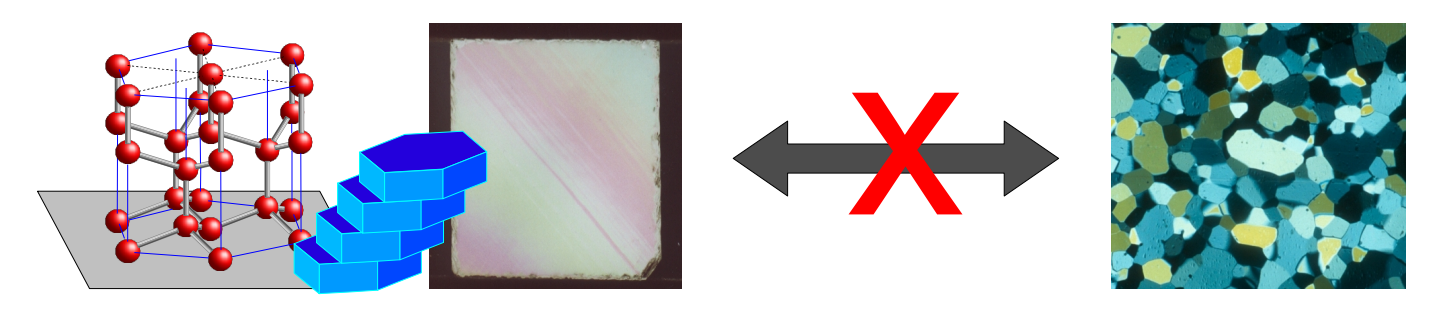


Description semblable à celle d'un matériau cimenté

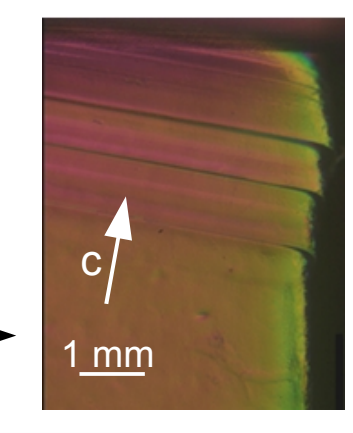
Contexte État de l'art en modélisation Modélisation: points en suspens Objectifs

## Modélisation: points en suspens

### Le cristal de glace ne se déforme pas comme la glace polycristalline:



- fluage par mouvement des dislocations
- les dislocations glissent essentiellement dans le plan basal
- un cristal cisaillé parallèlement au plan basal se déforme au moins 1000 fois plus vite que la glace polycristalline (isotrope)
- déformation localisée dans les plans de base activés





Très forte anisotropie mécanique du grain (analogie avec un paquet de cartes à jouer)

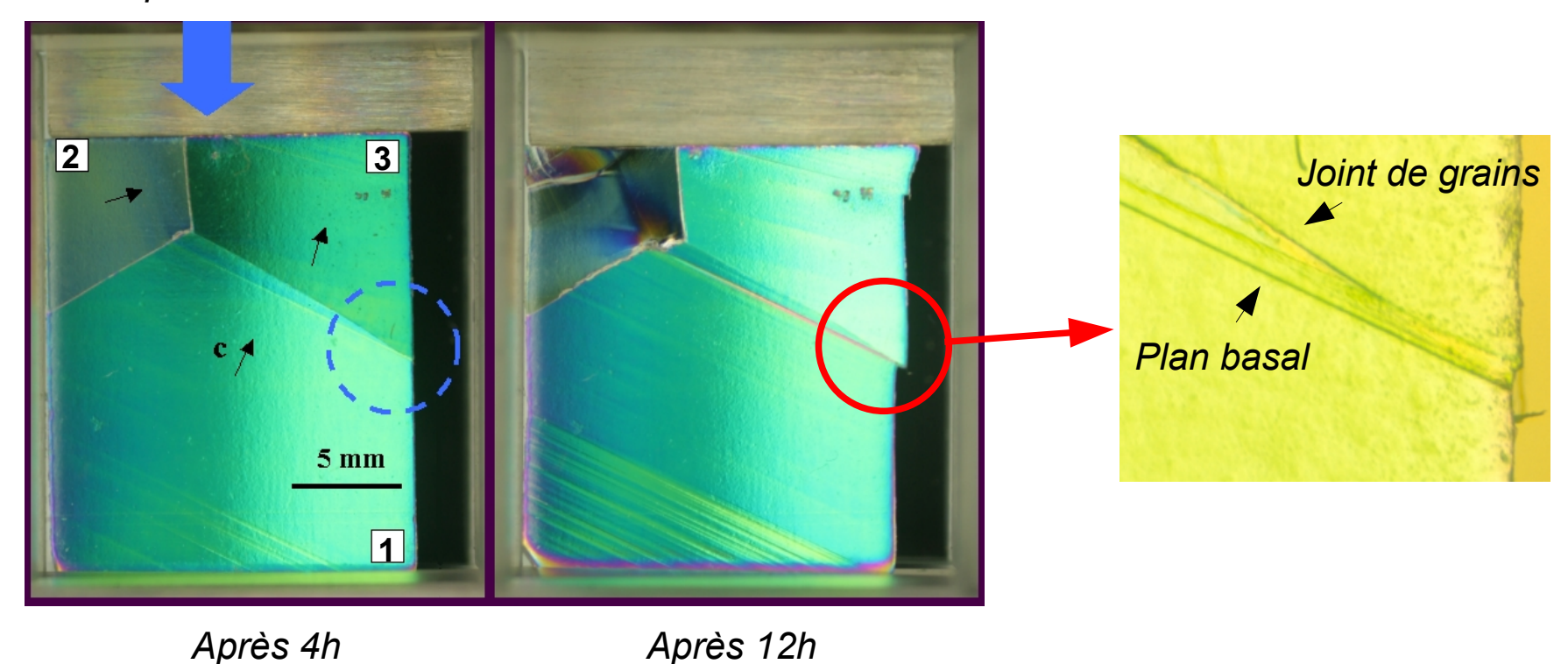


Contexte État de l'art en modélisation Modélisation: points en suspens Objectifs

# Modélisation: points en suspens

### Le glissement aux joints de grains (GBS) est il un mécanisme actif?

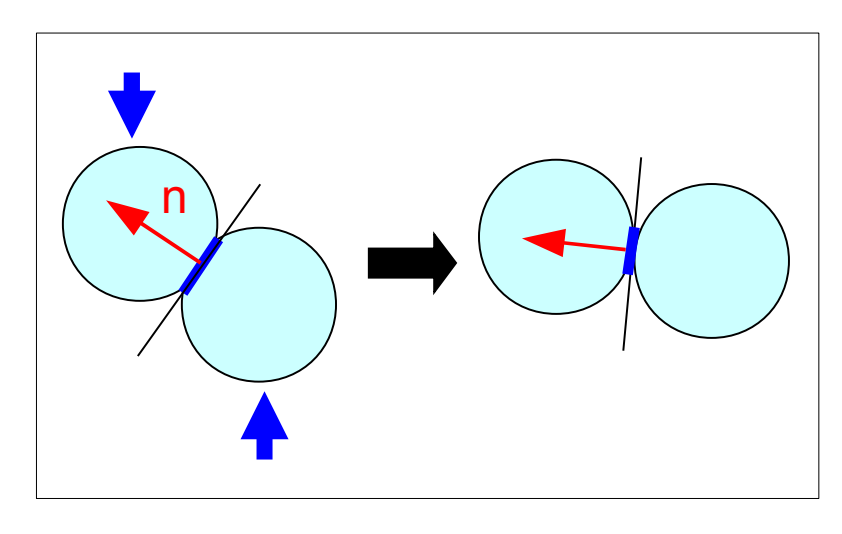
#### Compression 0.7 MPa



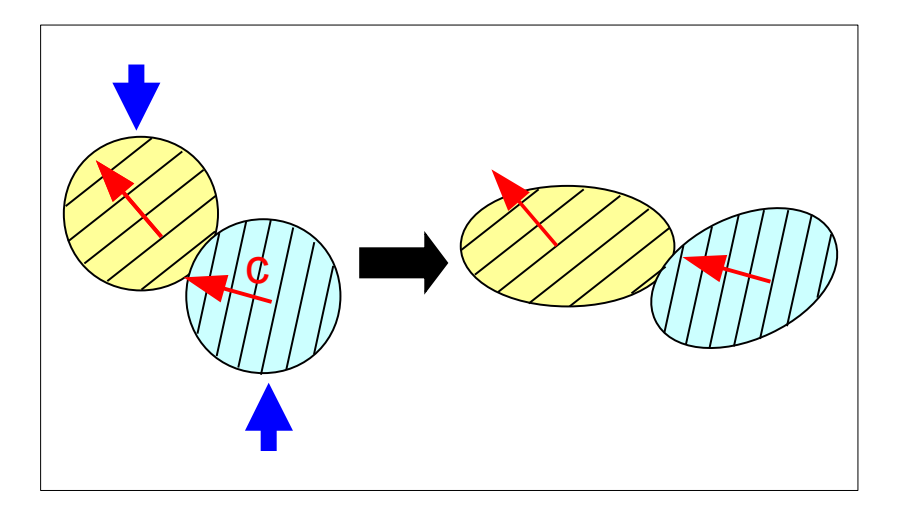
Contexte État de l'art en modélisation Modélisation: points en suspens Objectifs

## Modélisation: points en suspens

#### Comment tenir compte de la microstructure de la neige?



Glissement aux joints de grains : paramètre = orientation des contacts



Déformation intra-granulaire : paramètre = orientation cristalline des grains

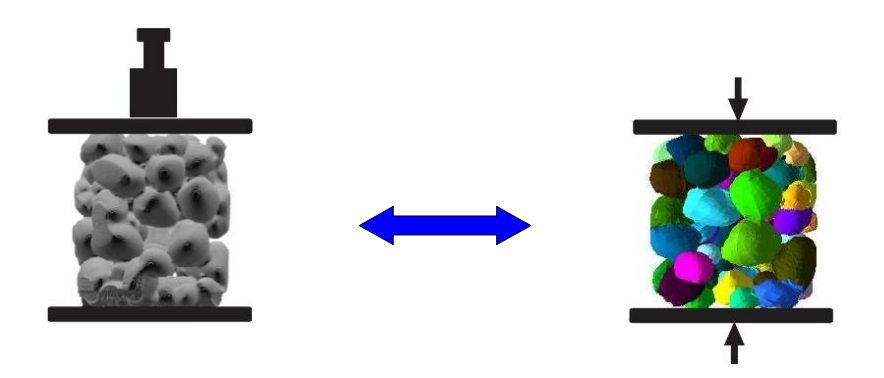
- Les 2 mécanismes ne sont pas équivalents
- Le comportement mécanique du grain de neige n'est pas isotrope
- Peut on considérer la neige comme un matériau granulaire ? (au sens Génie-Civil !)

Contexte État de l'art en modélisation Modélisation: points en suspens Objectifs

## **Objectifs**

### Le projet Snow-White (ANR-06-BLAN-0396)

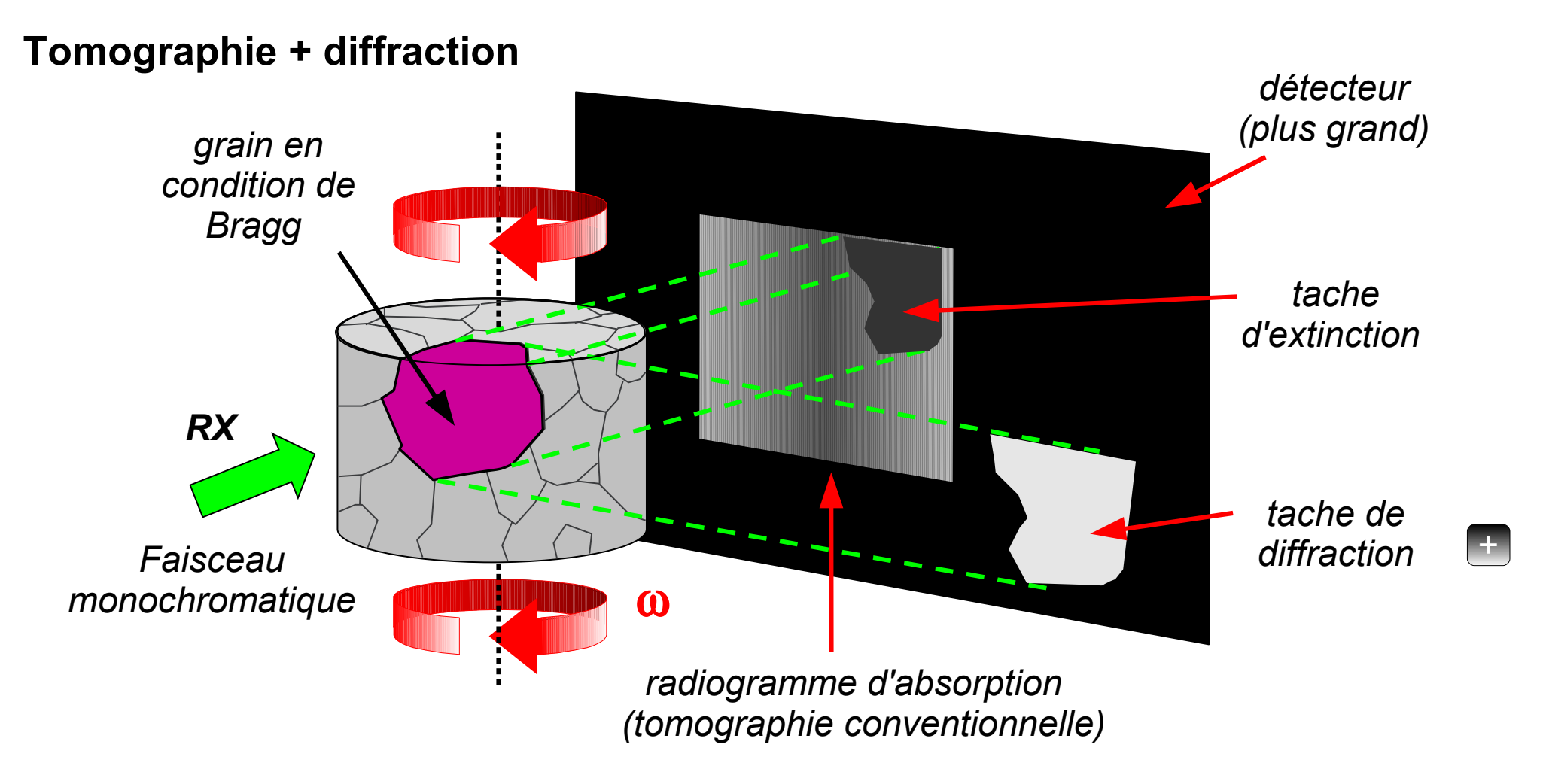
- observer les mécanismes de déformation de la neige à l'échelle du grain pour évaluer les influences relatives de la déformation intra-granulaire et du glissement aux joints de grains
- Expériences: essais de compression sous rayons X ("in situ")
   micro-tomographie + orientation cristalline des grains
- Modélisation: simulation numérique des essais



Participants: LGGE (coordination) + CEN + 3S-R + Cemagref + ESRF

Principe de la Diffraction Contrast Tomography
Reconstruction DCT
Dispositif expérimental
Essai de compression

# Principe de la Diffraction Contrast Tomography (DCT)

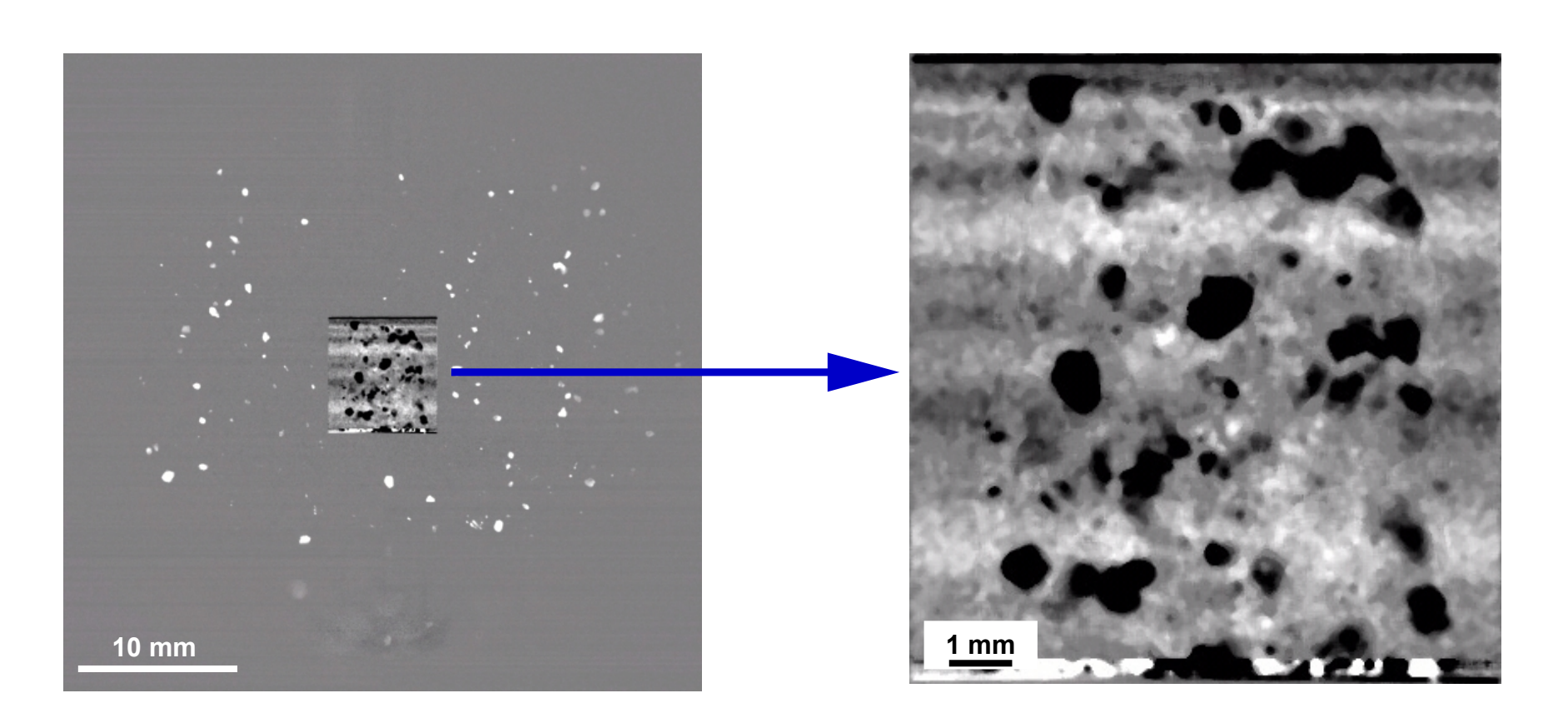


méthode développée par Wolfgang Lüdwig (ESRF, Grenoble)

Principe de la Diffraction Contrast Tomography Reconstruction DCT Dispositif expérimental Essai de compression

# Principe de la DCT

### Radiogramme typique

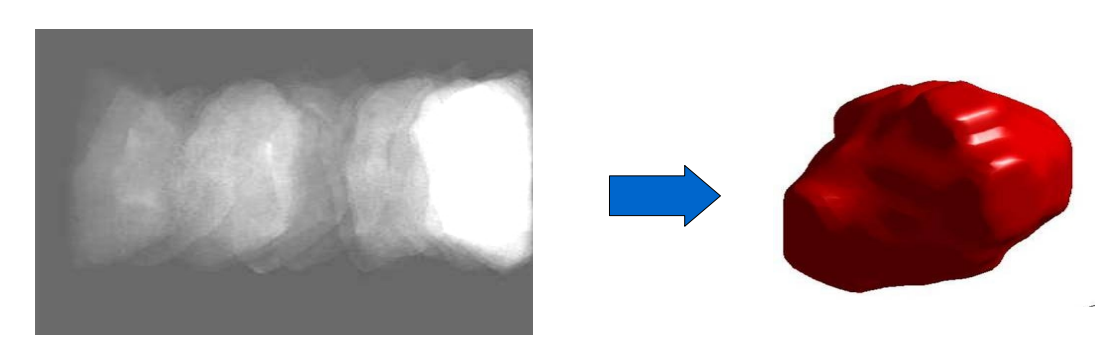


Principe de la Diffraction Contrast Tomography Reconstruction DCT Dispositif expérimental Essai de compression

## **Reconstruction DCT**

#### **Etapes principales**

- scan: 7200 radiogrammes également répartis sur 360° (durée 1h)
- segmentation des taches d'absorption et de diffraction (total diffr. ≈ 20 000)
- correspondance des taches de diffraction et d'absorption par reconnaissance de forme environ 50 taches de diffraction par grain
- ullet détection des "Friedel pairs" : taches du même plan en positions  $\omega$  et  $\omega+\pi$
- pour chaque "Friedel pair": 1 vecteur diffraction g + angle de Bragg
- test de cohérence : les vecteurs g doivent correspondre à la glace Ih !
- calcul de la position du grain diffractant (d'orientation connue) dans l'échantillon
- reconstruction de la forme des grains à partir des taches de diffraction

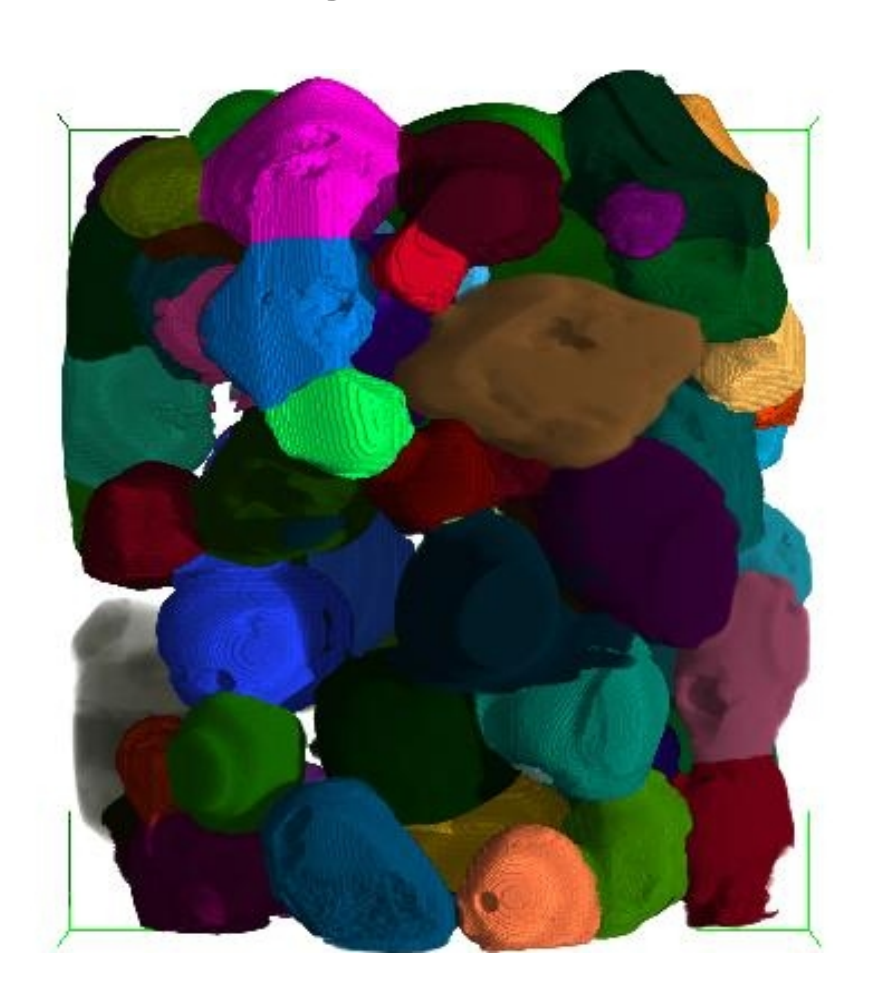


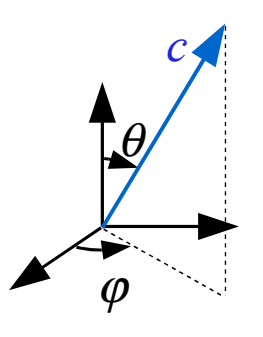


Principe de la Diffraction Contrast Tomography Reconstruction DCT Dispositif expérimental Essai de compression

### **Reconstruction DCT**

Resultat: image 3D





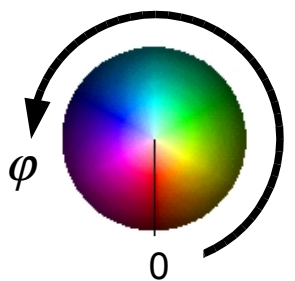
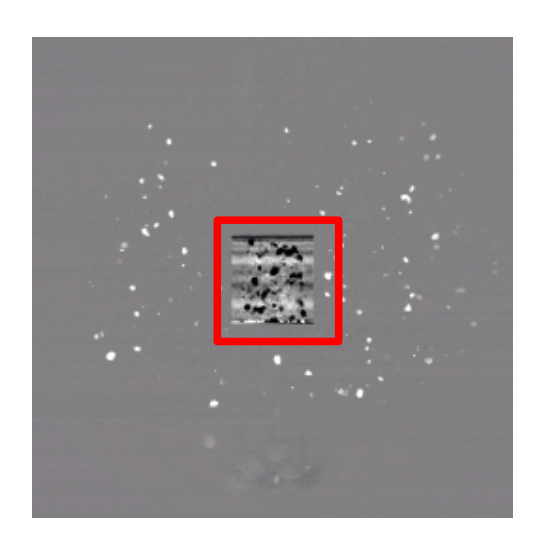


image  $\approx 500 \times 500 \times 500$  voxels

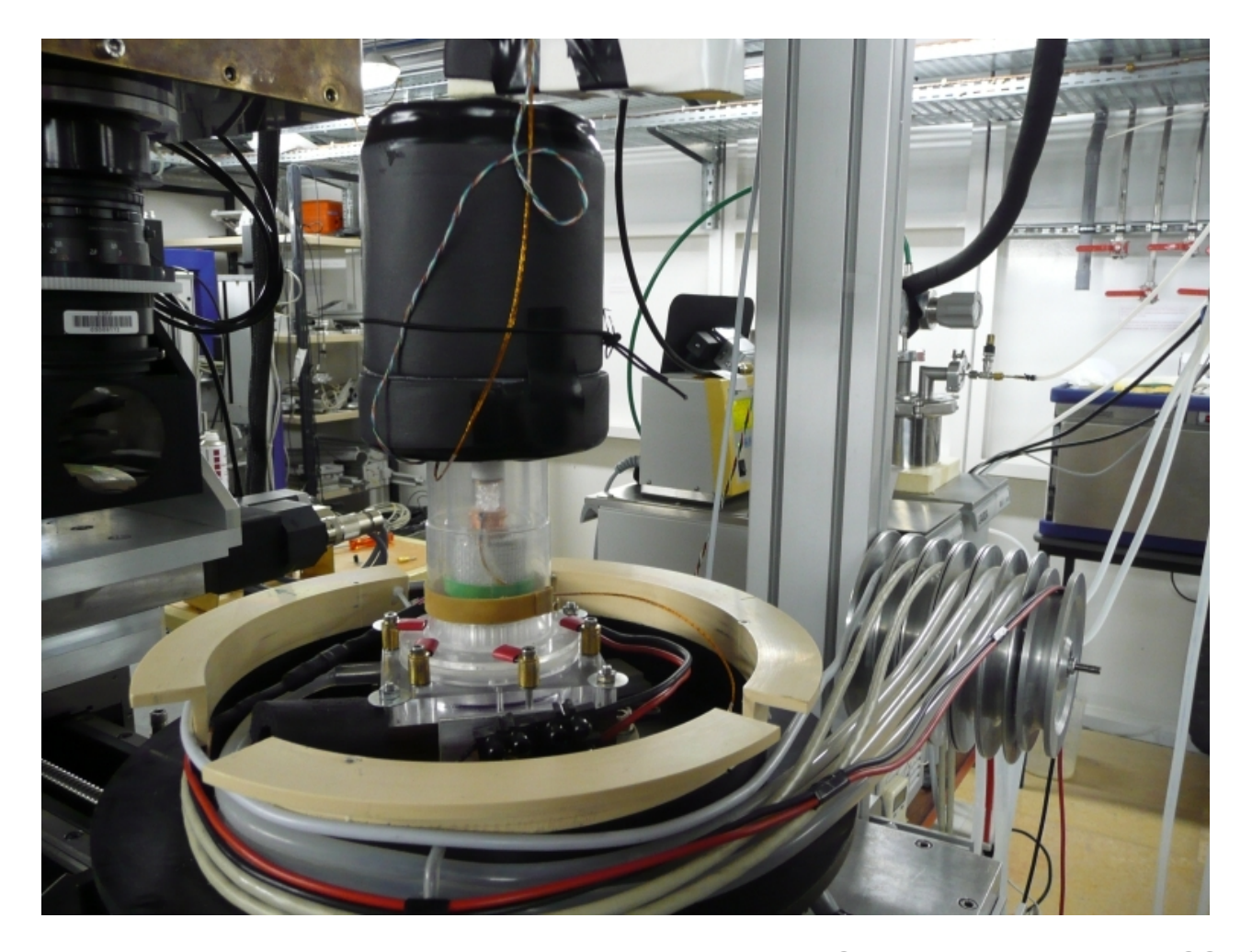


Detecteur 40 x 40 mm<sup>2</sup> CCD 2048 x 2048 pixels résolution 20μm

Principe de la Diffraction Contrast Tomography Reconstruction DCT Dispositif expérimental Essai de compression

# Dispositif expérimental

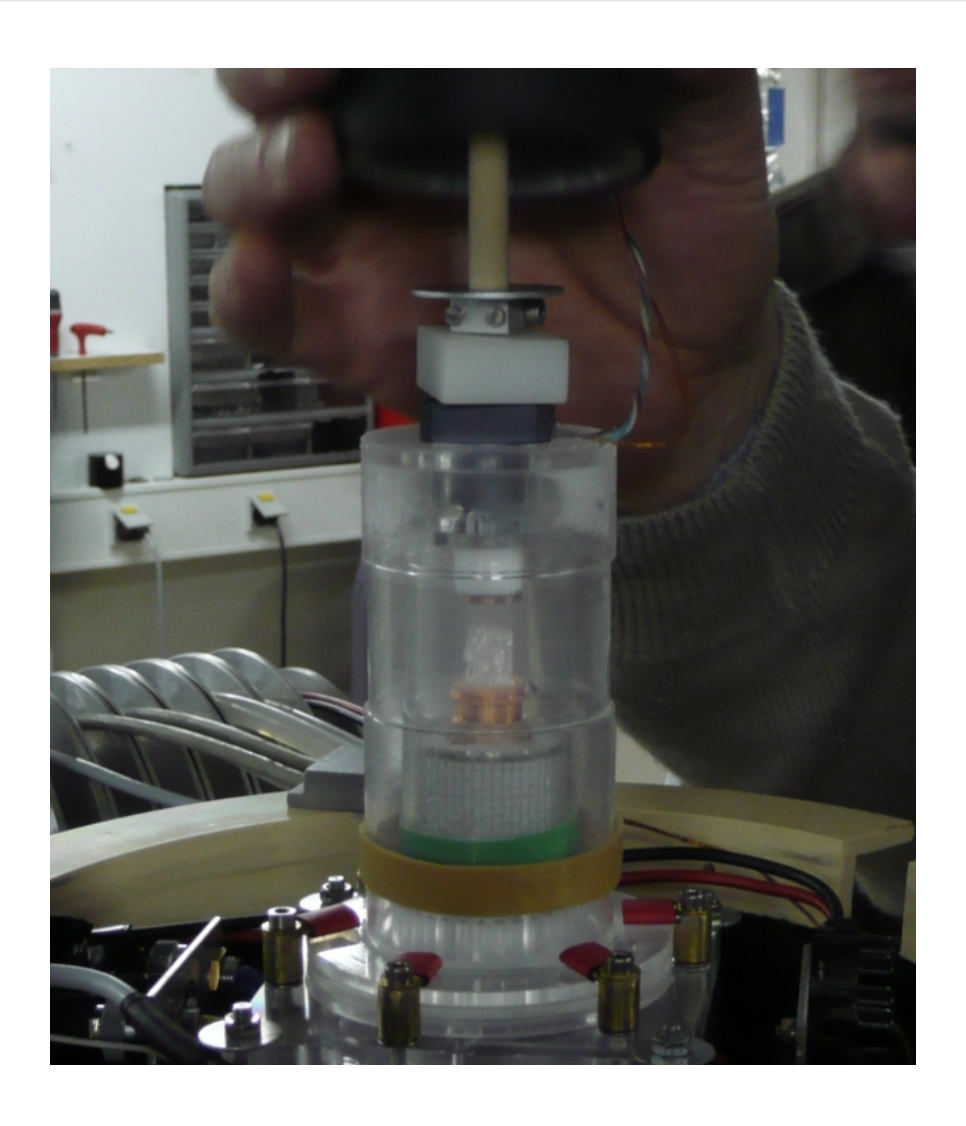
#### Environnement de l'échantillon



Principe de la Diffraction Contrast Tomography Reconstruction DCT Dispositif expérimental Essai de compression

# Dispositif expérimental

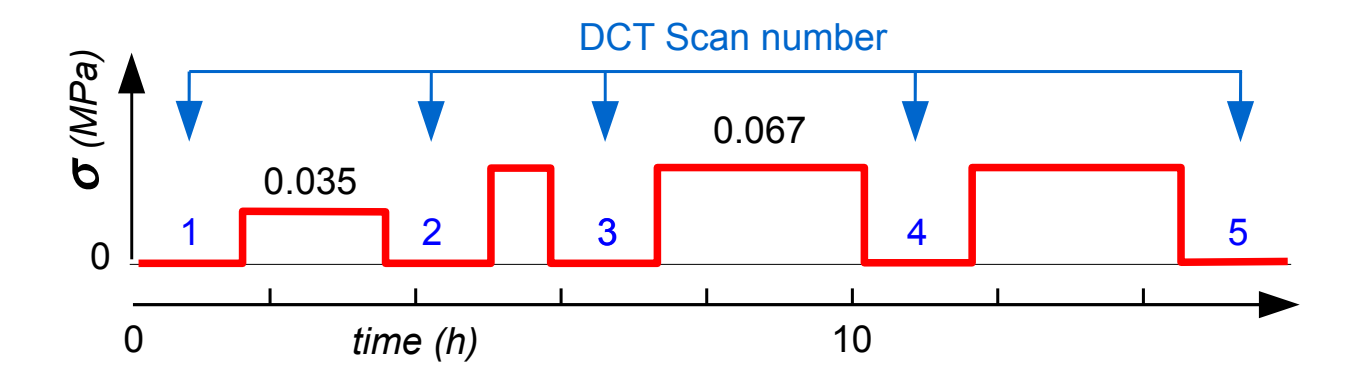
### Mise en charge

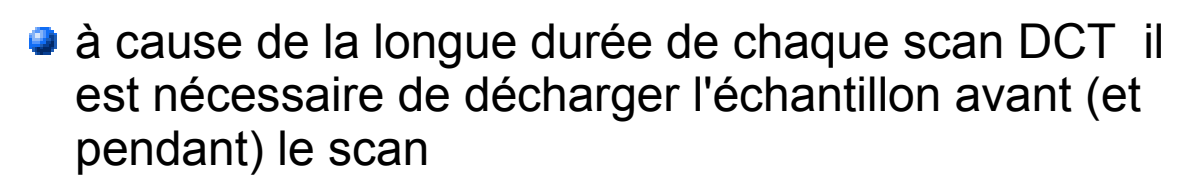


Principe de la Diffraction Contrast Tomography Reconstruction DCT Dispositif expérimental Essai de compression

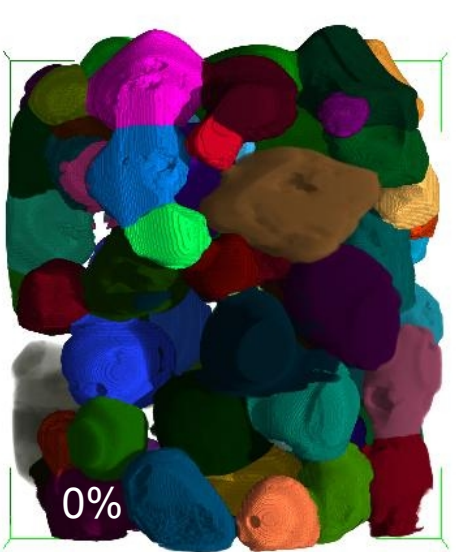
## Essai de compression

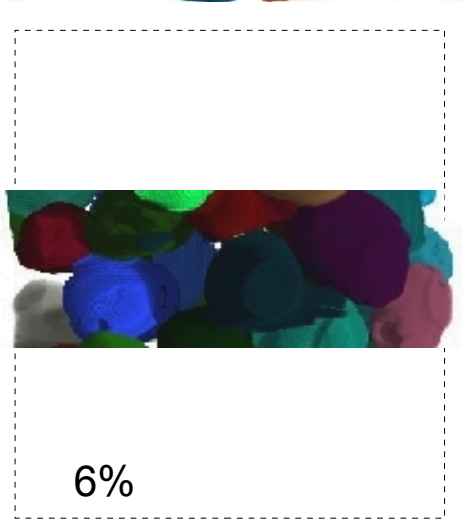
#### Protocole de chargement





la DCT devient de plus en plus difficile à analyser au fur et à mesure que la déformation augmente



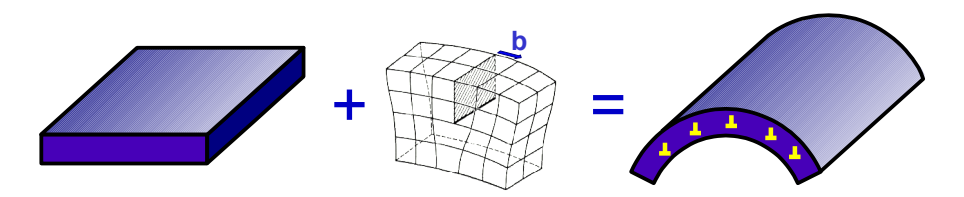


Principe de la Diffraction Contrast Tomography Reconstruction DCT Dispositif expérimental Essai de compression

## Essai de compression

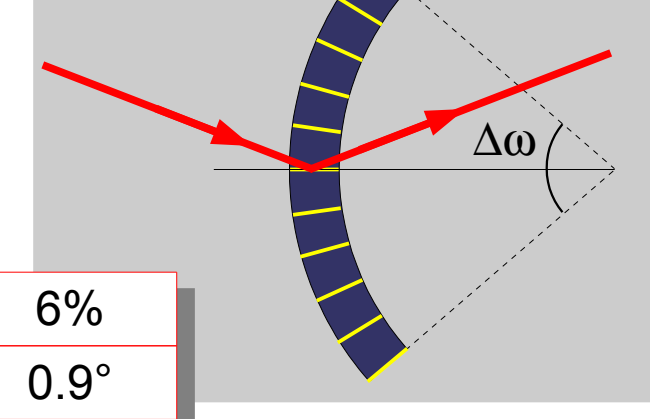
#### Evidence de déformation intra-granulaire

mosaïcité (distorsion de réseau): intervalle de ω sur lequel s'étale une tache de diffraction (reste visible)



les structures hétérogènes de dislocations induisent une distorsion du réseau cristallin

pour obtenir une tache complète en lumière monochromatique le cristal doit être tourné autour de sa position de Bragg  $\omega \pm \Delta \omega$ 



déformation	0%	1%	2%	6%
mosaïcité	0.15°	0.3°	0.35°	0.9°

→ activité de déformation intragranulaire

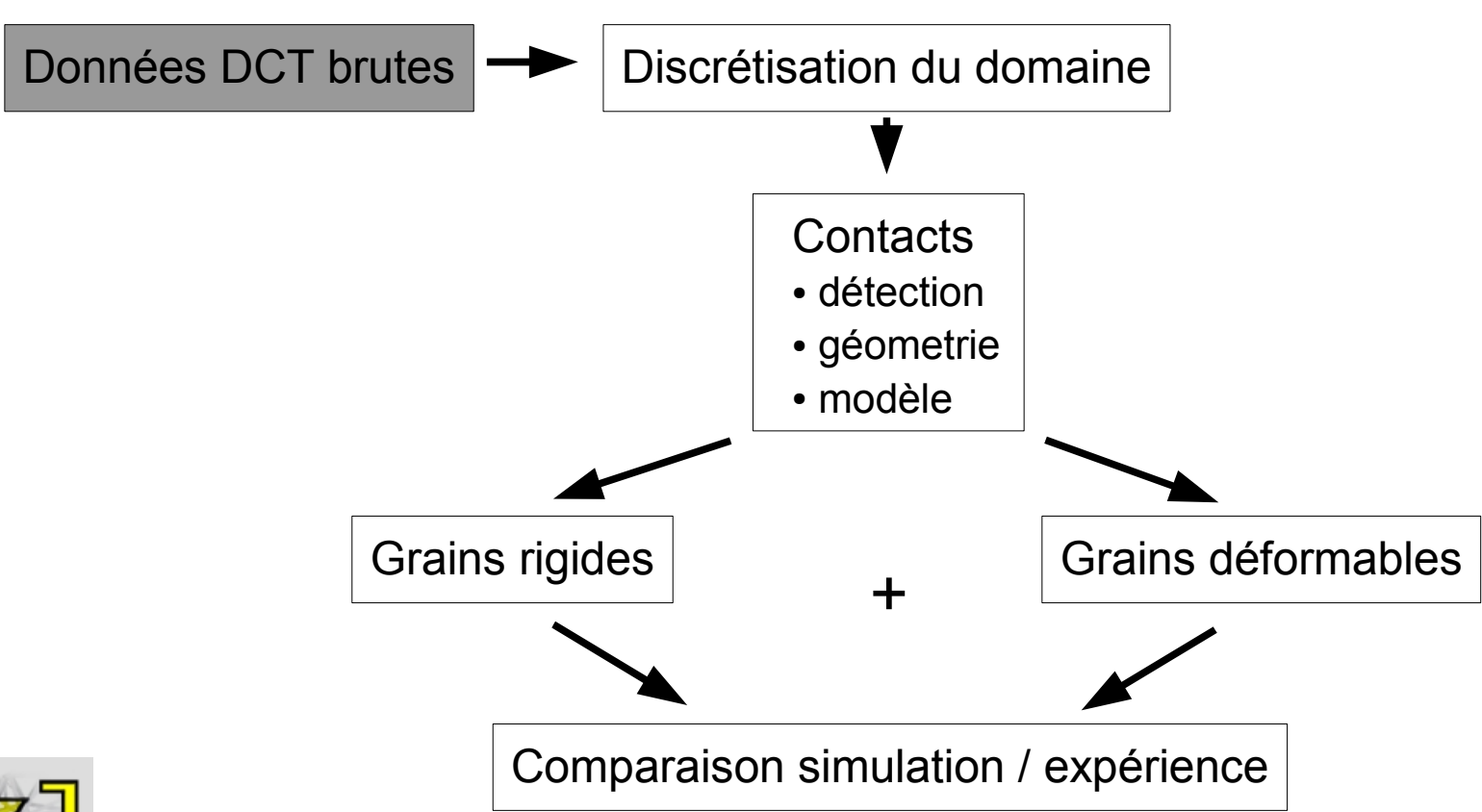
#### Principe de la DEM

DEM: discrétisation des grains DEM: grains rigides / déformables

DEM: exemple

## Principe de la DEM

## Étapes principales de la modélisation par Éléments Discrets





Développement du code open-source Yade (https://yade-dem.org)

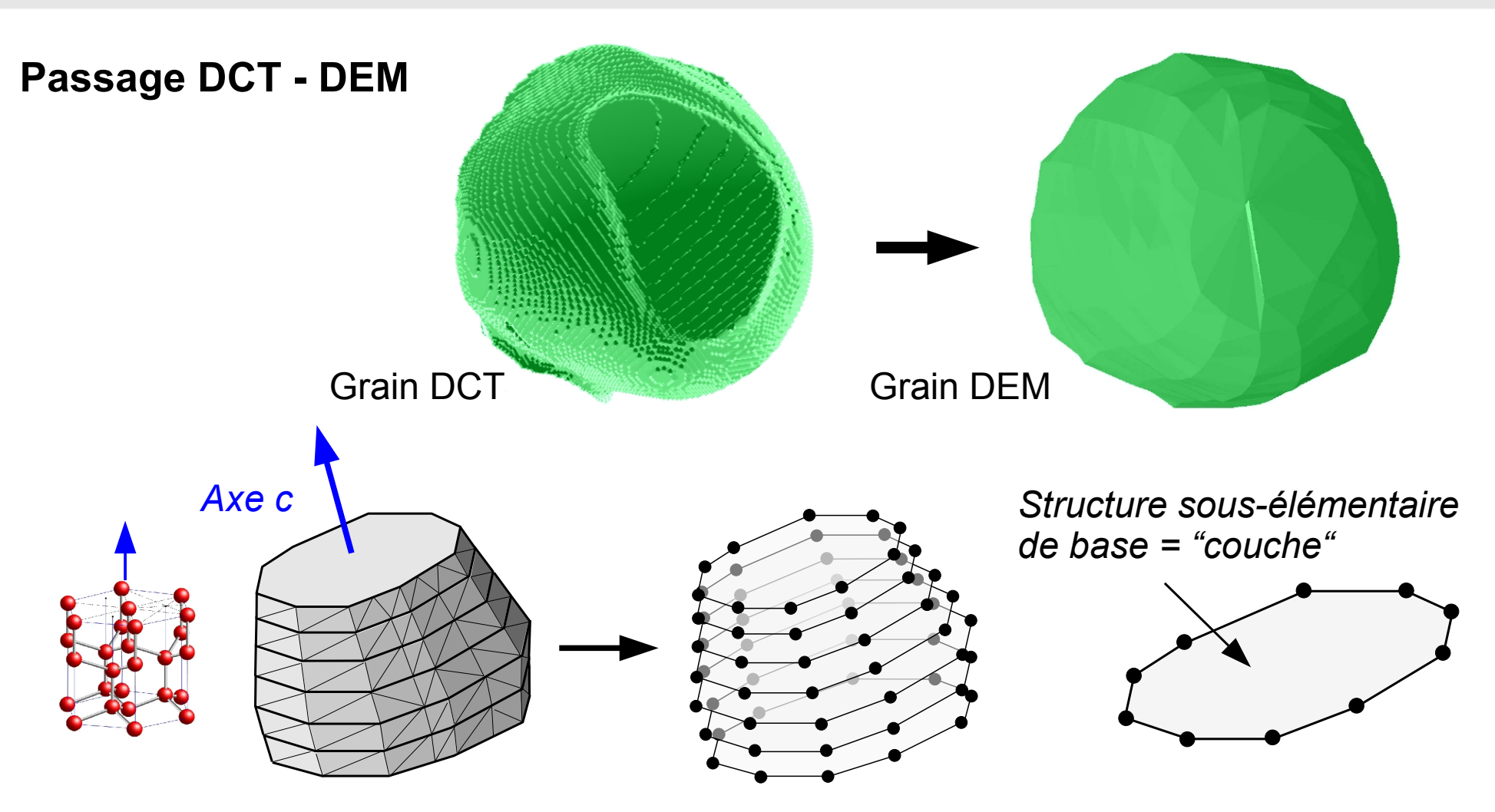
Principe de la DEM

DEM: discrétisation des grains

DEM: grains rigides / déformables

DEM: exemple

# Discrétisation des grains



Grain = empilement de couches perpendiculaires à l'axe c

Principe de la DEM

DEM: discrétisation des grains

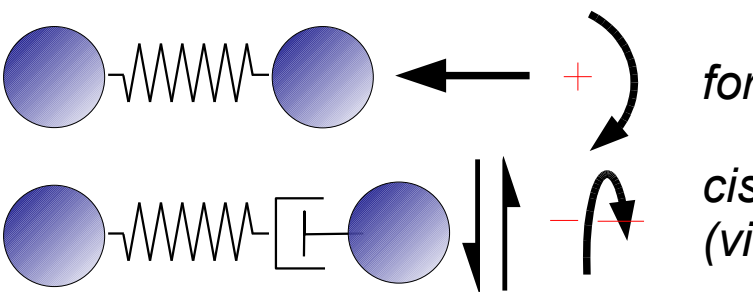
DEM: grains rigides / déformables

DEM: exemple

## Grains rigides / déformables

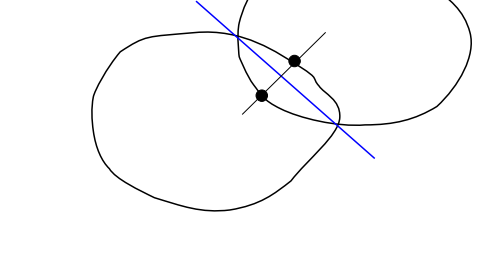
### Grains rigides: fluage limité aux contacts de grains

Forces de contact (fonction du déplacement relatif entre points de contact)



force normale / flexion

cisaillement / torsion (viscosité de contact)



### Grains déformables: fluage des grains par glissement relatif des couches

Condition cinématique



Forces réparties sur les couches en proportion du nombre de leurs points situés dans l'aire de contact (forces and moments sont pris constants sur la couche)

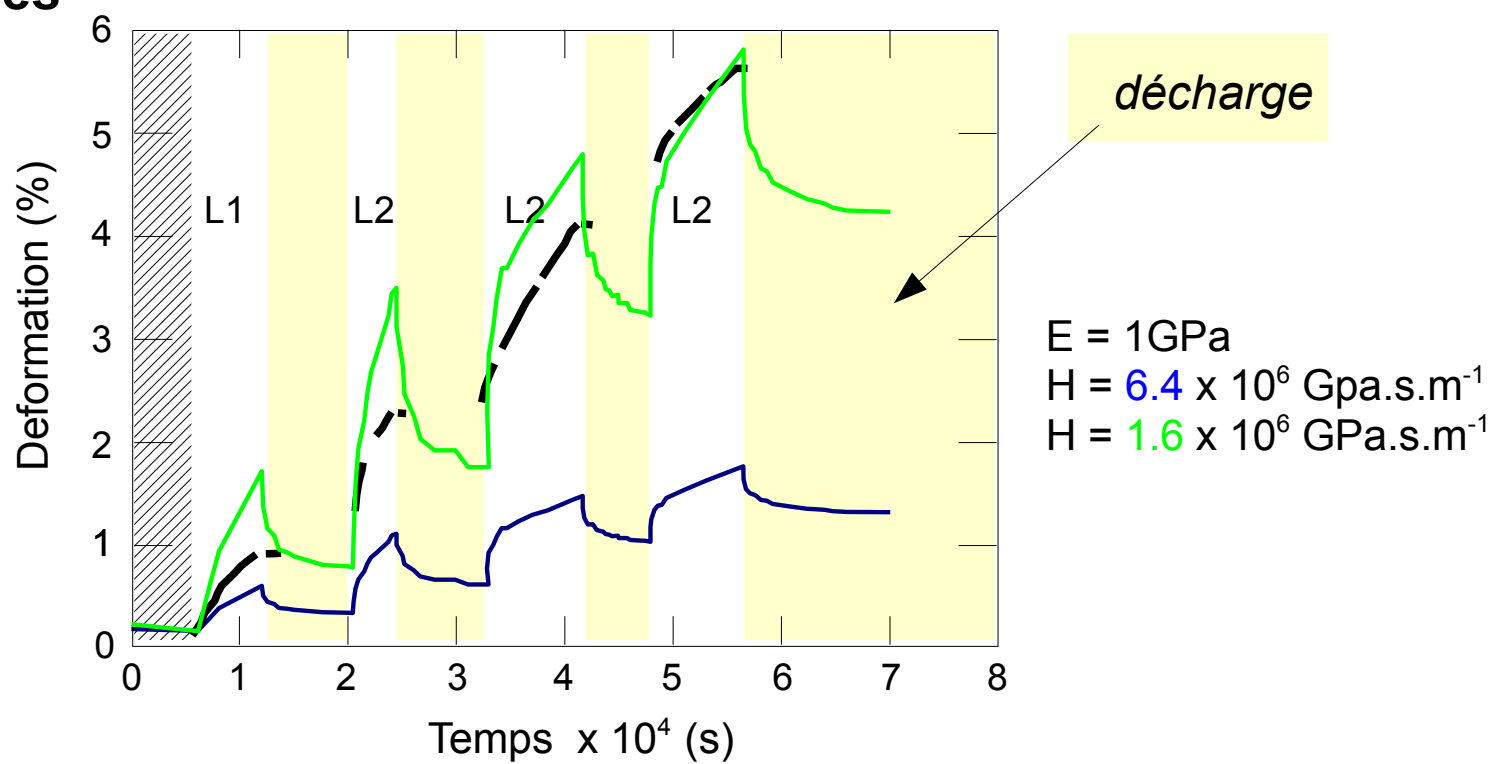
Principe de la DEM

DEM: discrétisation des grains DEM: grains rigides / déformables

DEM: exemple

## **Exemple**

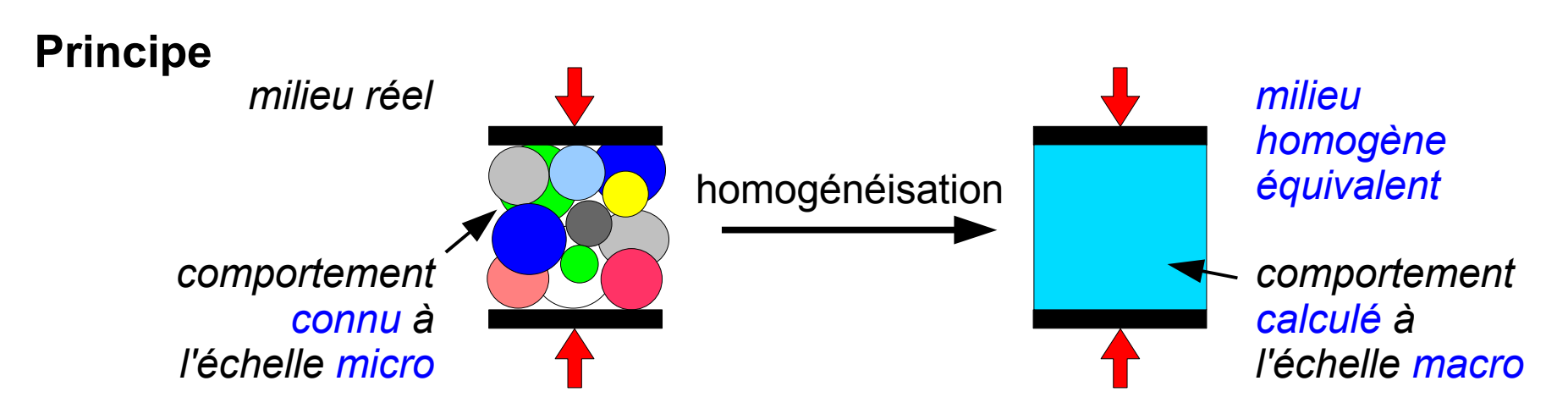
**Grains rigides** 

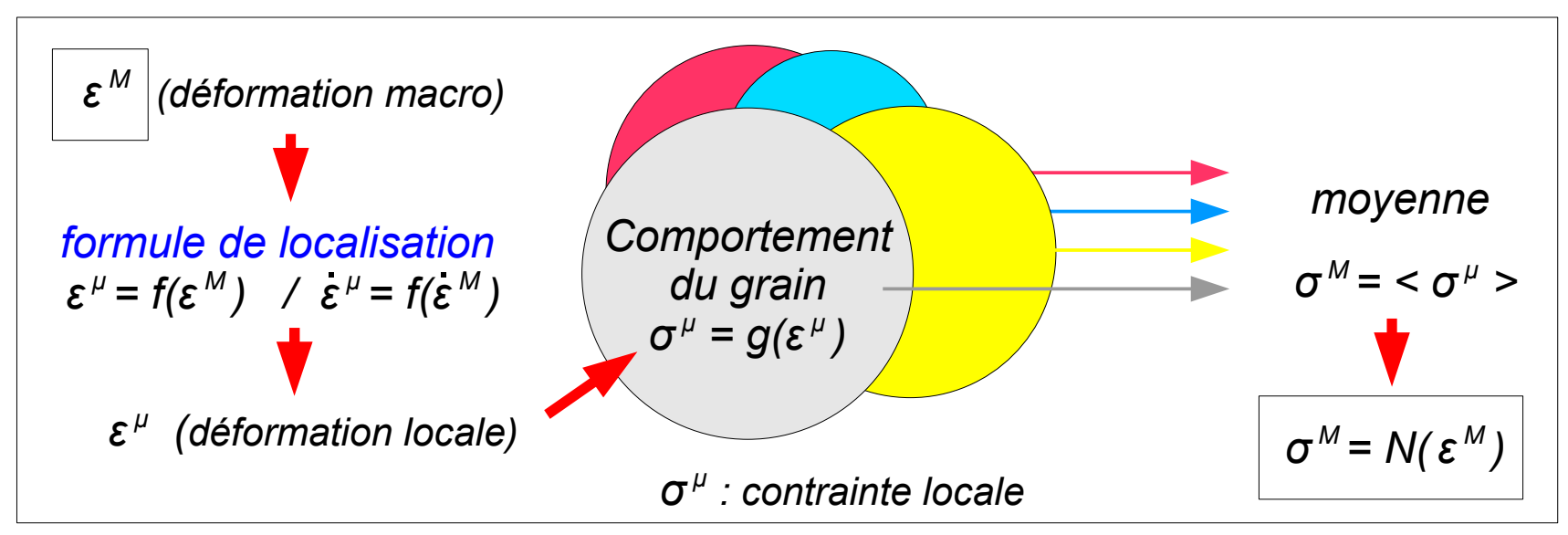


Le modèle est capable de représenter les tendances expérimentales (viscosité ad hoc)

Grains déformables → travail en cours

## Modélisation "micro-macro"

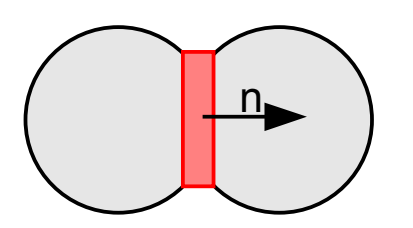




### Modélisation "micro-macro"

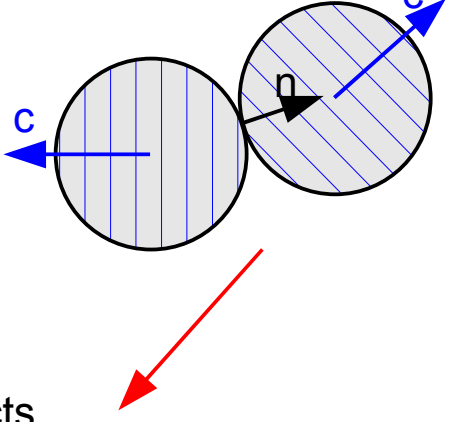
### **Grains rigides**

Pont: viscosité (isotrope)



#### **Grains déformables**

Grain: viscosité orthotrope de révolution



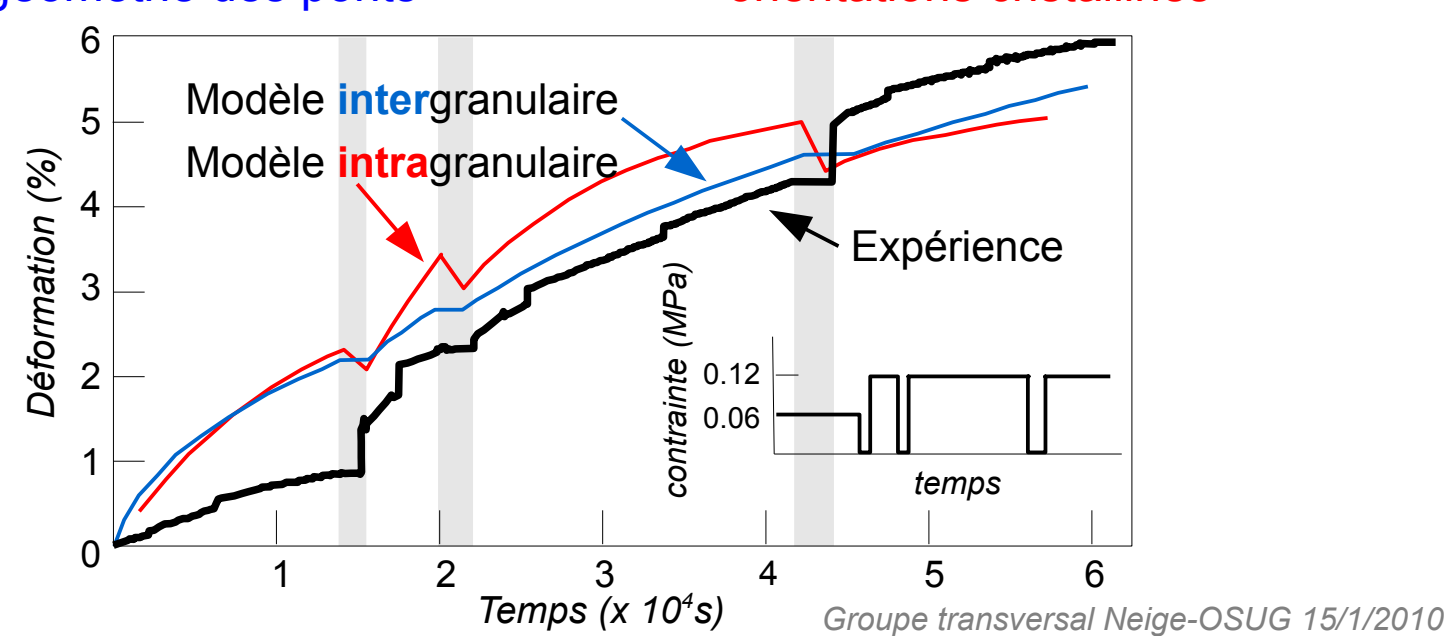
 $\sigma^M = N \varepsilon^M$ 

N: matrice de viscosité fonction de

viscosité de la glace / diamètre grains / orientation contacts

#### géométrie des ponts

#### orientations cristallines

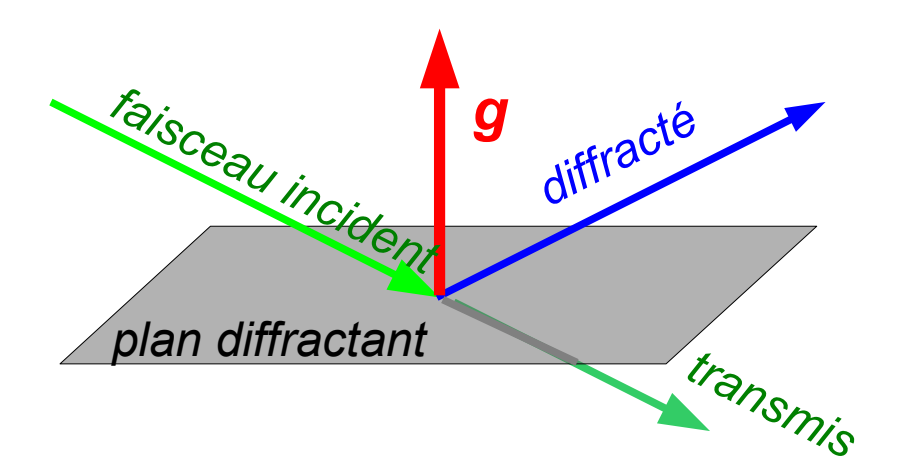


### Conclusion

- La modélisation de la neige nécessite de prendre en compte sa microstructure. Nous nous sommes focalisés sur les influences relatives de la déformation intragranulaire et du glissement inter grains.
- Des essais de compression ont été effectués sous rayonnement X en mettant en œuvre la nouvelle technique de Diffraction Contrast Tomography (DCT).
  - La DCT fournit une image 3D ainsi que les orientations cristallographiques des grains (méthode non destructive !)
  - Ceci donne la possibilité de simuler la déformation de la neige dans le régime ductile en prenant en compte l'extrême anisotropie de la glace.
- Les expériences ont montré que les grains de neige se déforment pendant une compression.
- Il reste à analyser une très grande quantité de données et à finaliser l'effort de modélisation en cours pour interpréter les résultats en termes de comportement mécanique.

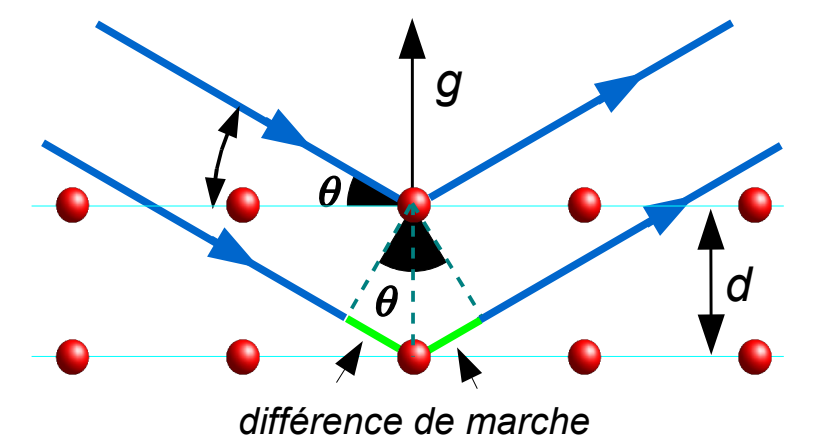
### **Tomographie + diffraction**

Faisceaux transmis + diffracté



Loi de Bragg

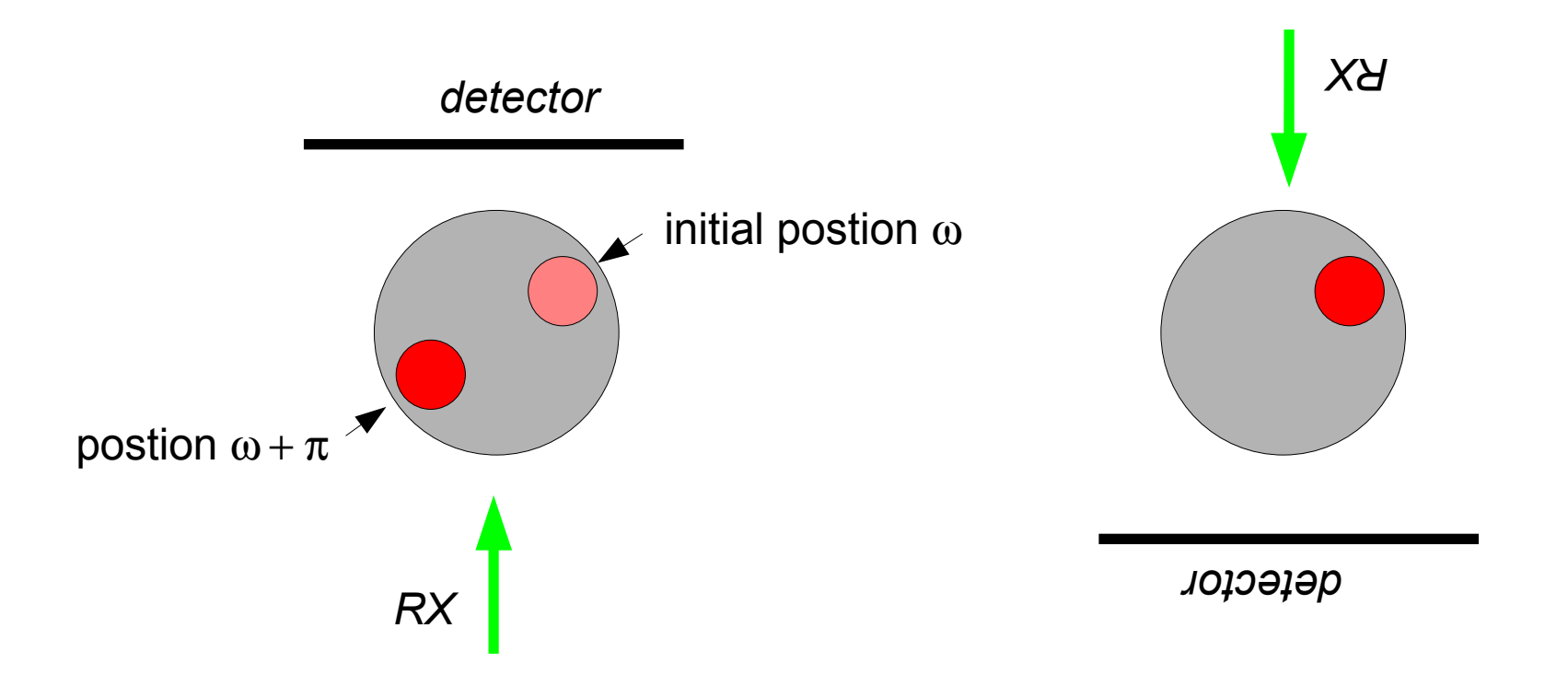
$$2 d \sin \theta = n \lambda$$



Ne marche que pour les matériaux cristallins!

## Friedel pairs

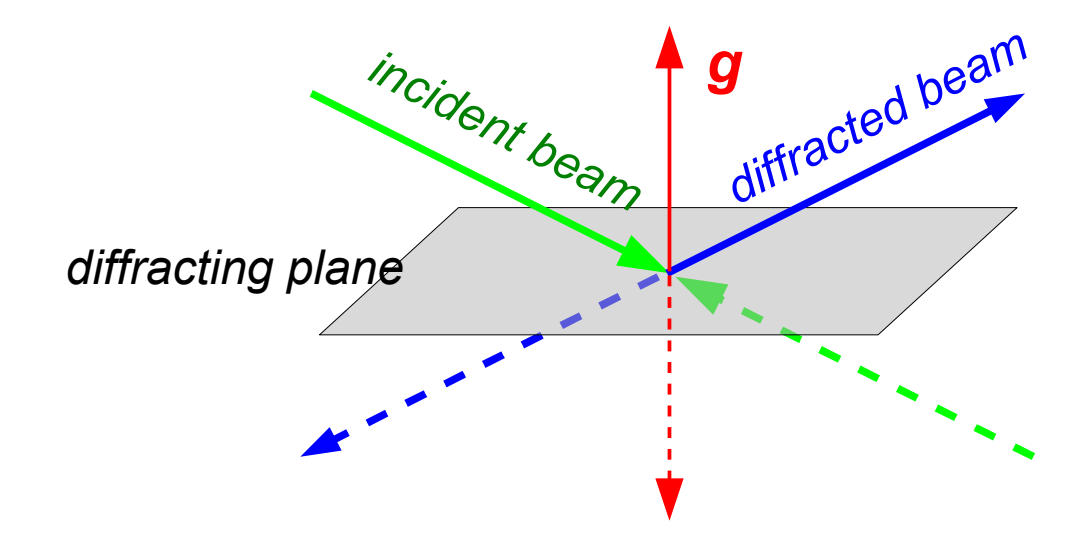
 Tourner l'échantillon de 180° est équivalent à laisser l'échantillon fixe et tourner le faisceau X et le détecteur de 180°





## Friedel pairs

- Tourner l'échantillon de 180° est équivalent à laisser l'échantillon fixe et tourner le faisceau X et le détecteur de 180°
- Inverser le faisceau incident inverse le faisceau diffracté





# Friedel pairs

